

เอกสารอ้างอิง

- [1] แผนพัฒนากำลังการผลิตไฟฟ้าของประเทศไทย 2553-2573 (Power Development Plan, PDP 2010), [Online], Available: www.eppo.go.th/power/pdp/pdp2010/pdp2010-summary.pdf [2010 June 13]
- [2] แผนพัฒนาพลังงานทดแทน 15 ปี [Online], Available: www.dede.go.th/dede/images/stories/y51_y65 [2010 March 7]
- [3] แนวทางการรับซื้อไฟฟ้าจากผู้ผลิตไฟฟ้าพลังงานหมุนเวียนที่ขอรับส่วนเพิ่มราคารับซื้อไฟฟ้า (Adder) [Online], Available: <http://www.pea.co.th/vspp/> [2010 April 10]
- [4] Negrao M. W. and Zilles R., 2009, "Influence of the power contribution of a grid-connected photovoltaic system and its operational particularities, **Energy for Sustainable Development**, 13, 202-211.
- [5] Barker P. and De Mello R. W., 2000, "Determining the impact of distributed generation on power systems: Part 1 – Radial distribution systems", **IEEE on PES Summer Meeting**, , Vol. 3, pp. 1645–1656.
- [6] Azmy A.M., Erlich I., 2005, "Impact of distributed generation on the stability of electrical power system", **IEEE power engineering society general meeting**, Vol. 2, pp. 1056 – 1063.
- [7] คู่มือขั้นตอนการรับซื้อไฟฟ้าจาก VSPP ขนาด < 1 MW (NEW) [Online], Available: <http://www.pea.co.th/vspp/> [2010 August 10]
- [8] ระเบียบการไฟฟ้าส่วนภูมิภาค (นครหลวง) ว่าด้วย ข้อกำหนดการปฏิบัติการระบบโครงข่ายไฟฟ้า พ.ศ.2551 [Online], Available: <http://www.pea.co.th/vspp/> [2010 April 10]
- [9] ระเบียบการไฟฟ้าส่วนภูมิภาค (นครหลวง) ว่าด้วยข้อกำหนดการเชื่อมต่อระบบโครงข่ายไฟฟ้า พ.ศ. 2551 [Online], Available: <http://www.pea.co.th/vspp/> [2010 April 10]
- [10] ระเบียบการไฟฟ้าส่วนภูมิภาค (นครหลวง) ว่าด้วย ข้อกำหนดการให้บริการระบบโครงข่ายไฟฟ้า พ.ศ. 2551 [Online], Available: <http://www.pea.co.th/vspp/> [2010 April 10]
- [11] Tse C. K., 2004, **Complex Behavior of Switching Power Converters**, CRC Press, Boca Raton, pp. 34-40.
- [12] Eykhoff P., 1974, **System Identification, Parameter and State Estimation**, Wiley, pp. 50-67.
- [13] R.D. Middlebrook and S. Cuk, 1976, "A general unified approach to modeling switching converter power stages", **IEEE power electronic specialists conference**, pp. 18 - 34.

- [14] Dalibor B., Viera B. and Zdenek K., 2008, "Averaged modeling of switched DC-DC converters based on spice models of semiconductor switches", **Proceedings of the 7th WSEAS International Conference on Circuits, Systems, Electronics, Control and Signal Processing**, Tenerife, Canary Islands, Spain, pp. 162–167.
- [15] Marisol D. and Hebertt S.R., 1998, "A bond graph approach to the modeling and simulation of switch regulated DC-to-DC power supplies", **Simulation Practice and Theory**, Vol. 6, Issue 7, pp. 631–646.
- [16] Araujo R.E., Americo V. L. and Diamantino S.F., 2002, "Modelling and simulation of power electronic systems using a bond formalism", **Proceeding of the 10th Mediterranean Conference on Control and Automation – MED**, Lisbon, Portugal, July 9–12.
- [17] Mummadri V., Tomonobu S. and Katsumi U., 2003, "Signal flow graph modeling of interleaved buck converters", **International Journal of Circuit Theory and applications**, Vol. 31, pp. 249– 264.
- [18] Ferdinanda P., Enrico S. and Antonello M., 2009, "Discrete Time Multi Resolution Modeling of Switching Power Converters Using Wavelets", **Journal Simulation**, Vol. 85, Issue 2, pp. 69-88.
- [19] Sanders S. R., Verghese G. C., 1991, "Synthesis of Averaged Circuit Models for Switched Power Converters", **IEEE Transactions on Circuits and Systems**, Vol. 38, No.8, pp. 905-915.
- [20] Luo F. L. and Ye H., 2007, "Small Signal Analysis of Energy Factor and Mathematical Modeling for Power DC-DC Converters", **IEEE Transactions on Power Electronics**, Vol. 22, pp. 69 - 79.
- [21] Jong L. L. and Chang H. C., 2003, "Small-signal modeling and control of ZVT-PWM boost converters", **IEEE Transactions on Power Electronics**, Vol. 18, Issue 1, pp. 2 – 10.
- [22] Karimi K.J., Booker A. and Mong A., 1996, "Modeling, simulation, and verification of large DC power electronics systems", **27th Annual IEEE on Power Electronics Specialists Conference**, Vol. 2, pp. 1731-1737.
- [23] Guangyong Z., Iannello C., Kornetzky P. and Batarseh I., 2000, "Large-Signal Modeling of a Single-Switch Power Factor Correction Converter", **31st Annual IEEE on Power Electronics Specialists Conference**, Vol. 3, pp. 1351-1357.

- [24] Limsakul C., Sangswang A., Chenvidhya D., Seepan M., Meunpinij B., Chayavanich T., and Jivacate C. , 2008, “An Impedance modeling of a PV grid-connected system”, **33rd IEEE on Photovoltaic Specialists Conference**, pp. 1-4.
- [25] Sjoberg J., Zhang Qinghua, Ljung L., Benveniste A., Delyon B., Glorenne P.Y., Hjalmarsson H. and Juditsky A., 1995, “Nonlinear black-box modeling in system identification: a unified overview”, **Journal Automatica (Journal of IFAC) – special issue on trends in system identification**, Vol. 31, Issue 12, pp. 1691 – 1724.
- [26] Hatanaka T., Uosaki K. and Koga M., 2004, “Block oriented nonlinear model identification by evolutionary computation approach”, **5th Asian Control Conference**, Vol.1, pp. 90–96.
- [27] Choi J.Y., Cho B.H., VanLandingham H.F., Mok H.S. and Song J.H., 1998, “System identification of power converters based on a black-box approach”, **IEEE Transactions on Circuits and Systems I: Fundamental Theory and Applications**, Vol 45, Issue 11, pp. 1148 - 1158.
- [28] Chayawatto N., Patcharaprakiti N., Monyakul V., Kirtikara K. and Tunalakun K., 2010, “Distributed Generation and Islanding – Study Converter Modeling of PV Grid –Connected Systems using Islading Phenomena”, **Distributed Generation - InTech**, pp. 209-248.
- [29] **Nonlinear Control** [Online], Available: http://en.wikipedia.org/wiki/Nonlinear_control [2008, October 10].
- [30] Tse C.K. and Di Bernardo M., 2002, “Complex Behavior in Switching Power Converters”, **Proceeding of the IEEE**, Vol. 90, Issue 5, pp. 768-781.
- [31] Benerjee S. and Verghese G, 2001, “Nonlinear Phenomena in other Power Electronic Systems”, **Nonlinear Phenomena in Power electronics : Bifurcation, Chaos, Control and Applications**, ch7, pp. 292-352.
- [32] **Describing function** [Online], Available: http://en.wikipedia.org/wiki/Describing_function [2009, February 15].
- [33] **Phase plane method** [Online], Available:http://en.wikipedia.org/wiki/Phase_plane_method [2009, February 15].
- [34] Guangkai Li, Guopeng Ma, Chengyoung Zhao and Gengyin Li, 2008, “Research of nonlinear control strategy for VSC – HVDC system based on Lyapunov stability theory”, **Third International Conference on Electric Utility Deregulation and Restructuring and Power Technologies**, pp. 2187-2191.

- [35] Dasgupta, S.; Mohan, S.N.; Sahoo, S.K.; Panda, S.K.; 2010, "A Novel current control scheme using Lyapunov function to control active and reactive power flow in single hybrid PV inverter system connected to the grid", **2010 International Power Electronics Conference**, pp. 1701-1708.
- [36] **Perturbation Theory** [Online], Available: http://en.wikipedia.org/wiki/Perturbation_theory [2009, March 9].
- [37] Paice A. and Gallestey E., **Popov and circle criteria** [Online], Available: <http://control.ee.ethz.ch/~apnoco/Lectures2009/> [2009, March 20].
- [38] Song K., 2006, "Sliding mode controller for the single-phase grid-connected photovoltaic system", **Journal Applied Energy**, Vol. 83, Issue 10, pp. 1101-1115.
- [39] Fengwen C. and Yiwang W., 2009, "Design of a single-phase grid-connected photovoltaic systems based on Fuzzy-PID controller, **Emerging Intelligent Computing Technology and Applications with Aspects of Artificial Intelligence**, pp. 912-919.
- [40] **State variable** [Online], Available: http://en.wikipedia.org/wiki/State_variable [2009, March 25].
- [41] **Root Locus Technique**, [Online], Available: <http://fivedots.coe.psu.ac.th/Software.coe/240-371/ebook/controlch9.pdf> [2009, April 20].
- [42] **Stability** [Online], Available: http://mte.kmutt.ac.th/elearning/Control_And_Dynamic_System/Learn_1.4_KanTodSob.htm [2009, May 20].
- [44] Lennart Ljung, 1999, **System Identification: Theory for the User**, Prentice Hall PTR, Upper Saddle River, NJ.
- [45] Ricardo G., **Validation** [Online], Available: http://courses.cs.tamu.edu/rgutier/ceg499_s02/113.pdf [2009, August 20].
- [46] **Cross validation** [Online], Available: <http://www.cs.cmu.edu/~scheneide/tut5/node42.html> [2009, September 15].
- [47] Oliver N., 2000, **Nonlinear system identification : from classical approaches to neural networks and fuzzy models**, Springer.
- [48] **Cross validation** [Online], Available: [http://en.wikipedia.org/wiki/Cross-validation_\(statistics\)](http://en.wikipedia.org/wiki/Cross-validation_(statistics)) [2009, October 2].
- [49] Lennart Ljung, 2009, **System Identification Toolbox User' Guide, MATLAB Help**.

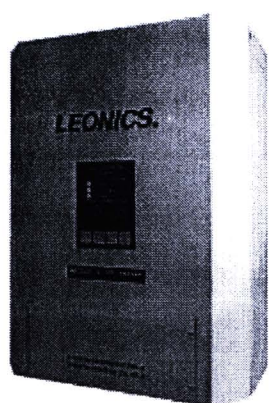
- [50] **White noise** [Online], Available: http://en.wikipedia.org/wiki/White_noise [2009, November 5].
- [51] Ohata, A., Furuta, K. and Nita, H., 2006, “Identification of nonlinear ARX model with input and output dependent coefficients Computer Aided Control System Design”, **IEEE International Conference on Control Applications**, pp. 2577 – 2582.
- [52] Alonge F., D’Ippolito F., Raimondi F.M., Tumminaro S., 2007, “Nonlinear modeling of DC/DC converters using the Hammerstein’s approach”, **IEEE Transaction on Power Electron**, Vol. 22, Issue 4, pp. 1210–1221.
- [53] Wigren T., 2003, “User choices and model validation in system identification using nonlinear Wiener models”, **Proceeding of 13th IFAC Symposium on System Identification, Rotterdam, Netherlands**, pp. 863–868.
- [54] Guo F. and Bretthauer G., 2003 “Identification of MISO Wiener and Hammerstein systems”, **Proceedings of the 7th European Control Conference, TEE, UK**.
- [55] **System Identification User guide**, [Online], Available: <http://www.mathworks.com/help/toolbox/ident/ug/bqs6lf8.html> [2009, December 20].

ภาคผนวก ก
รายละเอียดอินเวอร์เตอร์ที่นำมาทดสอบ
Frobis 1700 W
Leonics 5000 W S210

LEONICS®

APOLLO G-300

GRID CONNECTED INVERTER

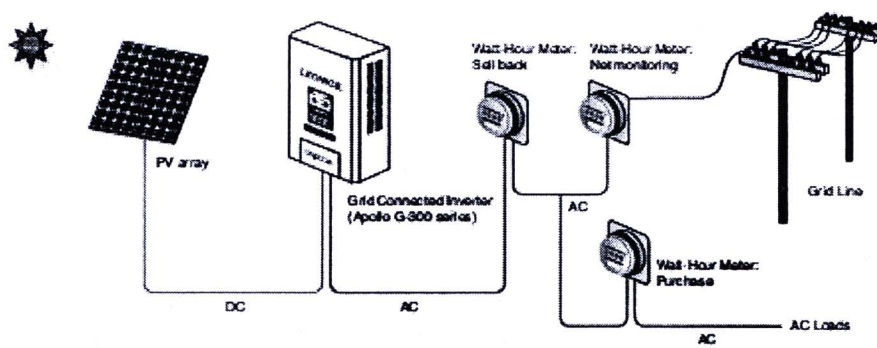


Wall mount case



Rack mount case

- Pure sine wave power output
- Peak efficiency > 91% (include isolation transformer)
- Low Harmonic Distortion (THDi) less than 4%
- Main and solar generator are galvanically isolated
- Built-in Maximum Power Point Tracking (MPPT)
- Microprocessor control
- Advanced IGBT Technology
- Islanding protections during failure of utility grid power supply
- Fully automatic self-START in the morning and STOP in the evening
- Special design for using at high grid fluctuation area
- Operation with battery bank (option)
- Tested to comply with IEC 61727 and IEC 62116
- AS 4777 and AS 3100 Certified
- C-tick compliance for EMC
- ISO 9001:2008 and ISO 14001 certified factory



The APOLLO G-300 series inverter is high performance grid connected inverter that integrated with maximum power point tracking (MPPT) to extract maximum power generated from PV array, and also system protection during failure of utility grid power supply. The inverter converts DC power produced by PV array to AC power for supplying to loads and sell excess power back to utility grid. In the cloudy day or when extra power is needed, loads will consume power from grid line automatically. It is suitable for grid connected solar power system for residence, building, store or factory.

GRID CONNECTED CENTRAL INVERTER

LEONICS®

APOLLO G-300 series GRID CONNECTED INVERTER



SPECIFICATIONS		TYPE TEST		OPERATION		PROTECTION		COMMUNICATIONS		ENVIRONMENTAL	
Output	2.5 kW	2.5 kW	2.5 kW	2.5 kW	2.5 kW	3.9 kW	4.2 kW	4.7 kW	5.0 kW	5.0 kW	5.0 kW
AC Output											
Output											
Operating temperature	-20°C to +40°C										
Voltage range	185 - 300 V										
(for short term of 1 min)	300 - 380 V										
Voltage and phase	+10% -15% for 220 Vac and 230 Vac (single phase) according to standards of IEC 61727 and IEC 62116 -200 - 280 Vac for 240 Vac (single phase) according to standards of AS 4777 300 - 340 Vac for 220 Vac (single phase) according to standards of IEC 61727 and IEC 62116 (for PEA grid line) 220 - 240 Vac for 230 Vac (single phase) according to standards of IEC 61727 and IEC 62116 (for MEA grid line)										
Frequency	50/60 Hz ± 0.5 Hz for 220 Vac and 230 Vac 50/60 Hz ± 0.5 Hz for 240 Vac										
Power factor	48 - 51 Hz for 220 Vac and 230 Vac according to standards of IEC 61727 and IEC 62116 (for PEA and MEA grid lines) more than 0.96										
Distortion factor	distortion less than 4% each less than 2%										
Output limiting	110%										
Output protection	over voltage over current over temperature										
Total Output protection	over voltage over current over temperature over load over temperature over voltage over current over temperature over load over temperature										
UPS											
LCD display											
LED display											
Line noise tolerance	line noise tolerance										
Overload protection	overload protection										
Overvoltage protection	overvoltage protection										
Overtemperature protection	overtemperature protection										
Overcurrent protection	overcurrent protection										
All protection											
Temperature compensation											
Humidity											
Water ingress	IP20										
Shock/vibration	IEC 68-2-22										
Impact	IEC 68-2-22										
Vibration	IEC 68-2-64										
Wind load	IEC 68-2-32										
Altitude	IEC 68-2-20										
Temperature	IEC 68-2-10										
Humidity	IEC 68-2-11										
Water ingress	IP20										
Shock/vibration	IEC 68-2-22										
Impact	IEC 68-2-22										
Vibration	IEC 68-2-64										
Wind load	IEC 68-2-32										
Altitude	IEC 68-2-20										
Temperature	IEC 68-2-10										
Humidity	IEC 68-2-11										
Water ingress	IP20										
Shock/vibration	IEC 68-2-22										
Impact	IEC 68-2-22										
Vibration	IEC 68-2-64										
Wind load	IEC 68-2-32										
Altitude	IEC 68-2-20										
Temperature	IEC 68-2-10										
Humidity	IEC 68-2-11										
Water ingress	IP20										
Shock/vibration	IEC 68-2-22										
Impact	IEC 68-2-22										
Vibration	IEC 68-2-64										
Wind load	IEC 68-2-32										
Altitude	IEC 68-2-20										
Temperature	IEC 68-2-10										
Humidity	IEC 68-2-11										
Water ingress	IP20										
Shock/vibration	IEC 68-2-22										
Impact	IEC 68-2-22										
Vibration	IEC 68-2-64										
Wind load	IEC 68-2-32										
Altitude	IEC 68-2-20										
Temperature	IEC 68-2-10										
Humidity	IEC 68-2-11										
Water ingress	IP20										
Shock/vibration	IEC 68-2-22										
Impact	IEC 68-2-22										
Vibration	IEC 68-2-64										
Wind load	IEC 68-2-32										
Altitude	IEC 68-2-20										
Temperature	IEC 68-2-10										
Humidity	IEC 68-2-11										
Water ingress	IP20										
Shock/vibration	IEC 68-2-22										
Impact	IEC 68-2-22										
Vibration	IEC 68-2-64										
Wind load	IEC 68-2-32										
Altitude	IEC 68-2-20										
Temperature	IEC 68-2-10										
Humidity	IEC 68-2-11										
Water ingress	IP20										
Shock/vibration	IEC 68-2-22										
Impact	IEC 68-2-22										
Vibration	IEC 68-2-64										
Wind load	IEC 68-2-32										
Altitude	IEC 68-2-20										
Temperature	IEC 68-2-10										
Humidity	IEC 68-2-11										
Water ingress	IP20										
Shock/vibration	IEC 68-2-22										
Impact	IEC 68-2-22										
Vibration	IEC 68-2-64										
Wind load	IEC 68-2-32										
Altitude	IEC 68-2-20										
Temperature	IEC 68-2-10										
Humidity	IEC 68-2-11										
Water ingress	IP20										
Shock/vibration	IEC 68-2-22										
Impact	IEC 68-2-22										
Vibration	IEC 68-2-64										
Wind load	IEC 68-2-32										
Altitude	IEC 68-2-20										
Temperature	IEC 68-2-10										
Humidity	IEC 68-2-11										
Water ingress	IP20										
Shock/vibration	IEC 68-2-22										
Impact	IEC 68-2-22										
Vibration	IEC 68-2-64										
Wind load	IEC 68-2-32										
Altitude	IEC 68-2-20										
Temperature	IEC 68-2-10										
Humidity	IEC 68-2-11										
Water ingress	IP20										
Shock/vibration	IEC 68-2-22										
Impact	IEC 68-2-22										
Vibration	IEC 68-2-64										
Wind load	IEC 68-2-32										
Altitude	IEC 68-2-20										
Temperature	IEC 68-2-10										
Humidity	IEC 68-2-11										
Water ingress	IP20										
Shock/vibration	IEC 68-2-22										
Impact	IEC 68-2-22										
Vibration	IEC 68-2-64										
Wind load	IEC 68-2-32										
Altitude	IEC 68-2-20										
Temperature	IEC 68-2-10										
Humidity	IEC 68-2-11										
Water ingress	IP20										
Shock/vibration	IEC 68-2-22										
Impact	IEC 68-2-22										
Vibration	IEC 68-2-64										
Wind load	IEC 68-2-32										
Altitude	IEC 68-2-20										
Temperature	IEC 68-2-10										
Humidity	IEC 68-2-11										
Water ingress	IP20										
Shock/vibration	IEC 68-2-22										
Impact	IEC 68-2-22										
Vibration	IEC 68-2-64										
Wind load	IEC 68-2-32										
Altitude	IEC 68-2-20										
Temperature	IEC 68-2-10										
Humidity	IEC 68-2-11										
Water ingress	IP20										
Shock/vibration	IEC 68-2-22										
Impact	IEC 68-2-22										
Vibration	IEC 68-2-64										
Wind load	IEC 68-2-32										
Altitude	IEC 68-2-20										
Temperature	IEC 68-2-10										
Humidity	IEC 68-2-11										
Water ingress	IP20										
Shock/vibration	IEC 68-2-22										
Impact	IEC 68-2-22										
Vibration	IEC 68-2-64										
Wind load	IEC 68-2-32										
Altitude	IEC 68-2-20										
Temperature	IEC 68-2-10										
Humidity	IEC 68-2-11										
Water ingress	IP20										
Shock/vibration	IEC 68-2-22										
Impact	IEC 68-2-22										
Vibration	IEC 68-2-64										
Wind load	IEC 68-2-32										
Altitude	IEC 68-2-20										
Temperature	IEC 68-2-10										
Humidity	IEC 68-2-11										
Water ingress	IP20										
Shock/vibration	IEC 68-2-22										
Impact	IEC 68-2-22										
Vibration	IEC 68-2-64										
Wind load	IEC 68-2-32										
Altitude	IEC 68-2-20										
Temperature	IEC 68-2-10										
Humidity	IEC 68-2-11										
Water ingress	IP20										
Shock/vibration	IEC 68-2-22										
Impact	IEC 68-2-22										
Vibration	IEC 68-2-64										
Wind load	IEC 68-2-32										

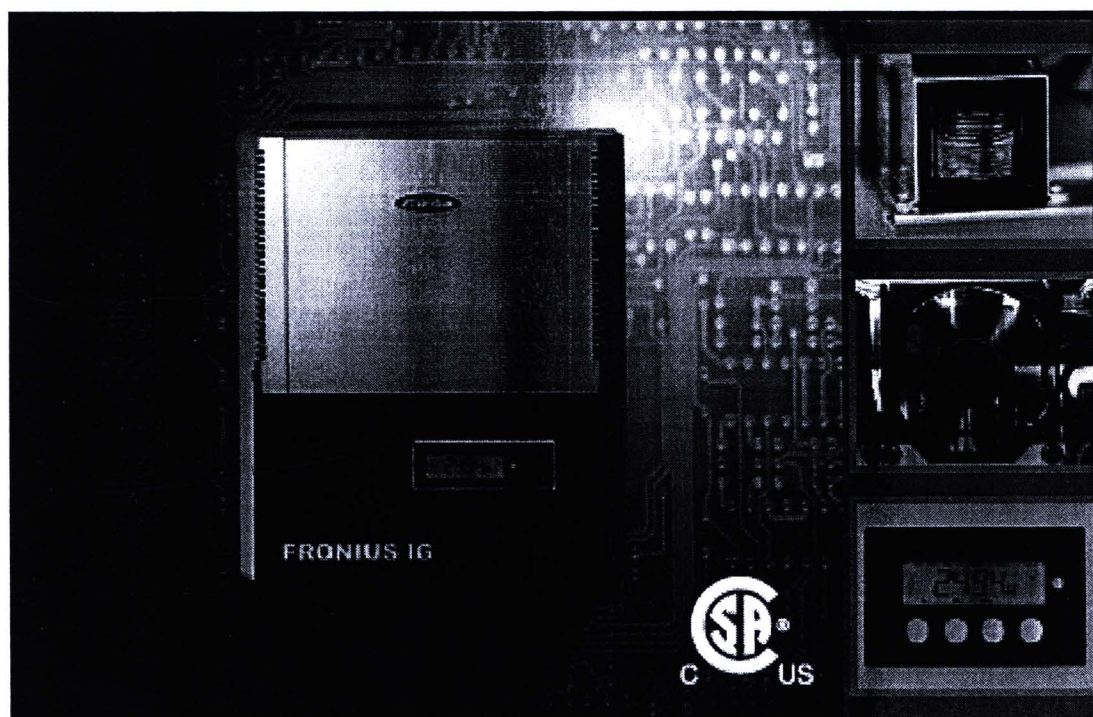
The rock mount case models are not included the floor standing rock mount units. Optional product development is our commitment. In that manner, the design specification may be changed without prior notice.

Authorized Distributor
ED ELECTRONICS CO. LTD

Authorized Distributor
ECI ELECTRONICS CO., LTD.
Tel. 0-2746-0000 Fax. 0-2746-8712 E-mail : RFE@electronics.com
129 Soi Bangna-Trad Rd 34, Bangna, Bangkok 10260 THAILAND

Wright et al. / Database

Antithesis of Power



FRONIUS IG

GRID-TIED INVERTERS FOR PHOTOVOLTAIC SYSTEMS

- | | |
|----------------------|---|
| Light Weight | At 28 lbs, the FRONIUS IG inverters are the lightest grid-connected inverters making them easy and cost effective to install. |
| Flexible | The wide voltage range of 150-500 V allows you to use different types of modules and system configuration possibilities. |
| Lower Cost | Integrated UL approved DC & AC disconnects which reduce installation time and complexity - often eliminating the need for additional disconnects. |
| LCD Display | User-friendly and comes standard with every FRONIUS IG; tracks more than 20 critical system performance parameters. |
| Plug-and-Play | Expansion slots in the inverter allow you to easily upgrade the inverter with data communication options. |
| Reliable | Fronius has been in business for over 60 years and has more than 200,000 FRONIUS IG inverters installed worldwide. |
| Warranty | 10 year Premium Warranty. |



FRONIUS IG

FRONIUS IG 2000 / 3000 / 2500-LV - Specifications

DC Input Data	FRONIUS IG 2000	FRONIUS IG 3000	FRONIUS IG 2500-LV
Recommended PV power	1500 – 2500 Wp	2500 – 3300 Wp	1900 – 3000 Wp
Max. DC input voltage	500 V	500 V	500 V
Operating DC voltage range	150 – 450 V	150 – 450 V	150 – 450 V
Max. usable DC input current	13.6 A	18 A	16.9 A
AC Output Data	FRONIUS IG 2000	FRONIUS IG 3000	FRONIUS IG 2500-LV
Maximum output power @40°C	2000 W	2700 W	2350 W
Nominal AC output voltage	240 V	240 V	208 V
Utility AC voltage range	212 – 264 V [240 V +10% / -12%]		183 – 229 V
Maximum AC current	8.35 A	11.25 A	11.25 A
Maximum utility back feed current	0.0 A	0.0 A	0.0 A
Operating frequency range	59.3 – 80.5 Hz [60 Hz nom.]	< 5%	
Total Harmonic Distortion THD			
Power Factor (cos phi)		1	
General Data	FRONIUS IG 2000	FRONIUS IG 3000	FRONIUS IG 2500-LV
Max. efficiency	95.2%	95.2%	94.4%
Consumption in stand-by		< 0.15 W (night)	
Consumption during operation		7 W	
Enclosure		NEMA 3R	
Size (l x w x h)	18.5 x 18.5 x 8.8 inches (470 x 418 x 223 mm)		
Weight	26 lbs (11.8 kg)		
Ambient temperature range	-5 to 122 °F (-20 to +50 °C)		
Cooling		controlled forced ventilation	
Integrated AC and DC disconnects		standard UL approved DC & AC disconnects	
Protections			
Ground fault protection		internal GFDI, in accordance with UL 1741	
DC reverse polarity protection		internal diode	
Islanding protection		internal, in accordance with UL 1741, IEEE 1547	
Over temperature		Output power derating	
Surge protection		internal DC & AC protection, Tested to 6 kV	
Compliance			
Safety		UL 1741	
EMI		FCC Part 15; Class A & B	
Anti-islanding protection		UL 1741, IEEE 1547	
Ground fault detector and interrupter		Compliant with NEC Art. 690 requirements, UL 1741	
Miscellaneous			
Maximum AC over current protection		Two-pole, 15 / 20 A circuit breaker	
AC wire sizing		Use maximum AWG 8 [94°F (90 °C) copper wire	
DC wire sizing		Use maximum AWG 8 [94°F (90 °C) copper wire	
AC disconnect		16 A	
DC disconnect		25 A	
Warranty		10 year Premium Warranty is Standard	

Distributed by



Fronius USA LLC
Solar Electronic Division
10421 Citation Drive
Suite 1100 Brighton, MI 48116
Phone: 810-220-4414
Fax: 810-220-4424
E-Mail: pv-us@fronius.com
www.fronius-usa.com

The Fronius logo is a registered trademark of Fronius International GmbH.
All other brands and product names may be trademarks or registered trademarks of their respective owners.

ประวัติผู้วิจัย

ชื่อ-สกุล

นายนพพร พัชรประภกิจ

วัน เดือน ปี เกิด

17 มิถุนายน 2519

ประวัติการศึกษา

ระดับปริญญาตรี

วิศวกรรมศาสตรบัณฑิต สาขาวิชาวิศวกรรมไฟฟ้า
คณาวิศวกรรมศาสตร์ มหาวิทยาลัยเชียงใหม่ พ.ศ. 2541

ระดับปริญญาโท

วิศวกรรมศาสตรมหาบัณฑิต สาขาวิชาวิศวกรรมไฟฟ้า
คณาวิศวกรรมศาสตร์ มหาวิทยาลัยเชียงใหม่ พ.ศ. 2545

ระดับปริญญาเอก

ปรัชญาดุษฎีบัณฑิต สาขาวิชาเทคโนโลยีพลังงาน
คณะพลังงานสิ่งแวดล้อมและวัสดุ
มหาวิทยาลัยเทคโนโลยีพระจอมเกล้าธนบุรี พ.ศ. 2554

ทุนการศึกษาและทุนวิจัย มหาวิทยาลัยเทคโนโลยีราชมงคลล้านนา พ.ศ. 2550

สำนักงานนโยบายและแผนพลังงาน กระทรวงพลังงาน พ.ศ. 2552

สำนักงานคณะกรรมการการอุดมศึกษา กระทรวงศึกษาธิการ พ.ศ. 2554

ประวัติการทำงาน

วิศวกรไฟฟ้า บริษัท พี.อี.บี. เทคโนโลยี จำกัด พ.ศ. 2541

วิศวกรไฟฟ้า บริษัท บัว คอนซัลแทนท์ จำกัด พ.ศ. 2544

อาจารย์ สถาบันเทคโนโลยีราชมงคล วิทยาเขตเชียงราย พ.ศ. 2546

หัวหน้าสาขาวิชาไฟฟ้า มหาวิทยาลัยเทคโนโลยีราชมงคล

ล้านนา เชียงราย พ.ศ. 2548

ผลงานที่ได้รับการตีพิมพ์

Book Chapters

- [1] Patcharaprakiti N., Kirtikara K., Monyakul V., Chenvidhya D., Thongpron J., Sangswang and A., Muenpinij B., “Modeling of Photovoltaic Grid Connected Inverters Based on Nonlinear System Identification for Power Quality Analysis”, **Electrical Generation and Distribution systems and Power Quality Disturbances**, InTech, November 2011, pp. 53-82.

Journal Publications

- [1] Patcharaprakiti N., Kirtikara K., Monyakul V., Chenvidhya D., Thongpron J., Sangswang A. and Muenpinij B., 2010, “Modeling of Single Phase Inverter of Photovoltaic System using Hammerstein- Wiener Nonlinear System Identification”, **Current Applied Physics**, Vol. 10, pp. S532–S536.
- [2] Patcharaprakiti N., Kirtikara K., Chenvidhya D., Monyakul V., Sangswang A., Tunlasakun K., Muenpinij B. and Thongpron J., 2011, “Modeling of Inverter of Photovoltaic System in Transient Condition using Nonlinear System Identification”, **Australian Journal of Basic and Applied Sciences**, Vol. 5, Issue 4, pp. 26-36.
- [3] N. Patcharaprakiti, K.Tunlasakun, K. Kirtikara, D. Chenvidhya, V. Monyakul, C. Jivacate, B. Muenpinij, J. Saelao and J. Thongpron, 2011, “Modeling of Islanding Detection for Inverter-Based Distributed Generator using Nonlinear System Identification Approach”, **GMSARN International Journal**, Vol.5, Issue 1, pp. 61-70.
- [4] Patcharaprakiti N., Kirtikara K., Monyakul V., Chenvidhya D., Thongpron J., Sangswang A. and Muenpinij B., 2011, “A Multi Input Multi output (MIMO) Hammerstein -Wiener Model Based Predictive Control of Single Phase Grid Connected Inverter”, **International Journal of Modeling and Optimization (IJMO)**, Vol. 1, Issue 1, pp 29 - 36.
- [5] Patcharaprakiti N., Kirtikara K., Thongpron J., Chenvidhya D., Sangswang A., Muenpinij B. and Saelao J., “Model Predictive Control Based on System Identification of Photovoltaic Grid-Connected Inverter”, **Procedia Engineering**, 2011, In press article.

International Conference

- [1] Patcharaprakiti N., Kirtikara K., Monyakul V., Chenvidhya D., Thongpron J., Sangswang A. and Muenpinij B., 2009, "Modeling of single phase Inverter of Photovoltaic System using Nonlinear System Identification", **19th International Photovoltaic Science and Engineering Conference (PVSEC)**, 9-11 November, Jeju, Korea.
- [2] Patcharaprakiti N., Kirtikara K., Chenvidhya D., Monyakul V. and Muenpinij B., 2010 "Modeling of Single Phase Inverter of Photovoltaic System using System Identification", **International Conference on Systems Engineering and Modeling (ICSEM)**, 23-25 April, Bangkok, Thailand.
- [3] Patcharaprakiti N., Kirtikara K., Chenvidhya D., Monyakul V., Sangswang A., Tunlasakun K., Muenpinij B., Thongpron J., 2010, "Modeling of Inverter of Photovoltaic System in Transient Condition using Nonlinear System Identification", **International Conference on Mathematical Applications in Engineering (ICMAE)**, 3-5 August, Kuala Lumpur, Malaysia.
- [4] Patcharaprakiti N, Monyakul V., Jivagate C., Chenvidhya D., Kirtikara K, Meunpinij B., Sangswang A. and Trongpron J., 2010, "Nonlinear System identification of Power Inverter for Grid-connected Photovoltaic System Based on MIMO Black Box Modeling", **International Conference for a Sustainable Greater Mekong Sub region (GMSTECH)**, 26-27 August, Bangkok, Thailand.
- [5] Patcharaprakiti N., Kirtikara K., Chenvidhya D., Monyakul V., Sangswang A., Thongpron J. and Muenpinij B., 2010, "System Identification with Cross Validation Technique for Modeling Inverter of Photovoltaic System", **International conference on mechanical and electrical technology (ICMET)**, 10-12 September, Singapore.
- [6] Patcharaprakiti N., K.Tunlasakun, K. Kirtikara, D. Chenvidhya, V.Monyakul, C.Jivacate and B.Muenpinij, 2010, "Modeling of Islanding Detection for Grid-connected Inverter using Nonlinear System Identification", **International Conference on Sustainable Development and Climate Change: Challenges and Opportunity in Great Mekong Subregion (GMSARN)**, 10-12 December, Vientiane, Laos.
- [7] Patcharaprakiti N., Tunlasakun K., Kirtikara K., Sangswang A. and Monyakul V., "Model Predictive Control Based on System Identification Modeling of Photovoltaic Grid-Connected Inverter", 2011, **3rd International Conference on Computer and Automation Engineering, (ICCAE)**, January 21 - 23, Chongqing, China.

มหาวิทยาลัยเทคโนโลยีพระจอมเกล้าธนบุรี
ข้อตกลงว่าด้วยการโอนสิทธิในทรัพย์สินทางปัญญาของนักศึกษาระดับบัณฑิตศึกษา
วันที่ 16 กันยายน 2554

ข้าพเจ้า นายนพพร พัชรประภกติ รหัสประจำตัว 50501205
เป็นนักศึกษาของมหาวิทยาลัยเทคโนโลยีพระจอมเกล้าธนบุรี ระดับปริญญา โท ปร.ค.
หลักสูตร ปรัชญาดุษฎีบัณฑิต สาขาวิชาเทคโนโลยีพลังงาน คณะพลังงานสิ่งแวดล้อมและวัสดุ
อยู่บ้านเลขที่ 230/16 ถนน... หมู่บ้านฯ ตำบล... หมู่บ้านฯ อำเภอ... อำเภอ... จังหวัด... จังหวัด...
คำนำหน้า... ศรีฯ นามสกุล... นามสกุล... นามสกุล...
รหัสไปรษณีย์ 50000 เป็น"ผู้โอน"ขอโอนสิทธิในทรัพย์สินทางปัญญาให้ไว้กับมหาวิทยาลัย
เทคโนโลยีพระจอมเกล้าธนบุรี โดยมี ดร. พัฒนา รักความสุข ตำแหน่ง คณบดีคณะพลังงานสิ่งแวดล้อมและวัสดุ
เป็นตัวแทน "ผู้รับโอน" สิทธิในทรัพย์สินทางปัญญาและมีข้อตกลง ดังนี้

1. ข้าพเจ้าได้จัดทำวิทยานิพนธ์ เรื่อง "แบบจำลองไนนานิกของระบบเชลล์แรงอาทิตย์แบบเชื่อมต่อ กับระบบจำหน่าย"

ซึ่งอยู่ในความควบคุมของ ดร. กฤณพงศ์ กิรติกร, ดร. ธีรบุตร เจนวิทยา
ตามพระราชบัญญัติลิขสิทธิ์ พ.ศ. 2537 และถือว่าเป็นส่วนหนึ่งของการศึกษาตามหลักสูตรของมหาวิทยาลัย
เทคโนโลยีพระจอมเกล้าธนบุรี

2. ข้าพเจ้าตกลงโอนสิทธิ์จากผลงานทั้งหมดที่เกิดขึ้นจากการสร้างสรรค์ของข้าพเจ้าในวิทยานิพนธ์ให้กับ
มหาวิทยาลัยเทคโนโลยีพระจอมเกล้าธนบุรี ตลอดอายุแห่งการคุ้มครองลิขสิทธิ์ตามพระราชบัญญัติลิขสิทธิ์ พ.ศ. 2537
ตั้งแต่วันที่ได้รับอนุมัติโครงสร้างวิทยานิพนธ์จากมหาวิทยาลัย

3. ในกรณีที่ข้าพเจ้าประสงค์จะนำวิทยานิพนธ์ไปใช้ในการเผยแพร่ในสื่อใดๆ ก็ตาม ข้าพเจ้าจะต้องระบุว่า
วิทยานิพนธ์เป็นผลงานของมหาวิทยาลัยเทคโนโลยีพระจอมเกล้าธนบุรีทุกร้งที่มีการเผยแพร่

4. ในกรณีที่ข้าพเจ้าประสงค์จะนำวิทยานิพนธ์ไปเผยแพร่ หรือให้ผู้อื่นทำซ้ำหรือคัดแปลงหรือเผยแพร่ต่อ
สาธารณะหรือทำการอื่นใด ตามพระราชบัญญัติลิขสิทธิ์ พ.ศ. 2537 โดยมีค่าตอบแทนในเชิงธุรกิจ ข้าพเจ้า
จะกระทำได้มีอย่างเดียว ได้รับความยินยอมเป็นลายลักษณ์อักษรจากมหาวิทยาลัยเทคโนโลยีพระจอมเกล้าธนบุรีก่อน

5. ในกรณีที่ข้าพเจ้าประสงค์จะนำข้อมูลจากวิทยานิพนธ์ไปประดิษฐ์หรือพัฒนาต่อข้อดีเป็นสิ่งประดิษฐ์หรืองาน
ทรัพย์สินทางปัญญาประเภทอื่น กายในระยะเวลาสิบ (10) ปีนับจากวันลงนามในข้อตกลงฉบับนี้ ข้าพเจ้าจะกระทำได้
เมื่อได้รับความยินยอมเป็นลายลักษณ์อักษรจากมหาวิทยาลัยเทคโนโลยีพระจอมเกล้าธนบุรี และมหาวิทยาลัยเทคโนโลยี
พระจอมเกล้าธนบุรีมีสิทธิในทรัพย์สินทางปัญหานั้น พร้อมกับได้รับชำระค่าตอบแทนการอนุญาตให้ใช้สิทธิ์ดังกล่าว
รวมถึงการจัดสรรผลประโยชน์อันพึงเกิดจากส่วนได้ส่วนเสียทั้งหมดของวิทยานิพนธ์ในอนาคต โดยให้เป็นไปตาม
ระเบียบสถาบันเทคโนโลยีพระจอมเกล้าธนบุรี ว่าด้วยการบริหารผลประโยชน์อันเกิดจากทรัพย์สินทางปัญญา พ.ศ. 2538

6. ในกรณีที่มีผลประโยชน์เกิดขึ้นจากวิทยานิพนธ์หรืองานทรัพย์สินทางปัญญาอื่นที่ข้าพเจ้าทำขึ้นโดยนิ
มหาวิทยาลัยเทคโนโลยีพระจอมเกล้าธนบุรีเป็นเจ้าของ ข้าพเจ้าจะมีสิทธิได้รับการจัดสรรผลประโยชน์อันเกิดจาก
ทรัพย์สินทางปัญหาดังกล่าวตามอัตราที่กำหนดไว้ในระเบียบสถาบันเทคโนโลยีพระจอมเกล้าธนบุรี ว่าด้วยการ
บริหารผลประโยชน์อันเกิดทรัพย์สินทางปัญญา พ.ศ. 2538

ได้ทุนวิจัยจากโครงการความร่วมมือ นจธ. – มทร. ล้านนา

ลงชื่อ.....*กนส พ.* ผู้โอนเงินสิทธิ์

(นายนพพร พัชรประภกิต)
ลงชื่อ.....*กนส พ.* ผู้รับโอนเงินสิทธิ์

(ดร. พัฒนา รักความสุข)
ลงชื่อ.....*พญ* พยาน

(ดร. กฤชยณพงศ์ กิรติกร)
ลงชื่อ.....*กฤช* พยาน

(ดร. ชีรบุตร เจนวิทยา)



